# 供水系统地震风险评估及升级优化

王绍玉1,2,金书森1

(1. 哈尔滨工业大学 管理学院, 150001 哈尔滨; 2. 哈尔滨工业大学 建筑学院, 150001 哈尔滨)

摘 要:为了评估供水系统地震风险和确定关键供水管道,建立了系统震后供水率 S、管道升级收益指数 U 和管道断裂影响指数 B3 项评价指标,并运用基于蒙特卡洛仿真的地震作用下流体的图解迭代响应分析(GIRAFFE)方法对供水系统在地面峰值速度  $v_{\rm G}=50$  cm/s 时进行了风险分析. 仿真结果表明, S 的分布特征与节点的用水需求分布关系密切, U 能作为首要指标并通过一次运算来确定系统中的单个关键供水管道和最大收益管道组合,它是管道断裂影响指数和管道断裂程度共同作用的结果. 由单个关键供水管道组成的升级组合并不是最佳的升级优化策略, 升级最大收益管道组合能最大程度地提高系统震后供水绩效并降低地震风险.

关键词:供水系统:地震风险评估;管道升级;管道断裂;蒙特卡洛仿真;关键供水管道;最大收益管道组合

中图分类号: X43

文献标志码: A

文章编号: 0367 - 6234(2013)02 - 0020 - 06

# Risk evaluation and optimization of water supply system under earthquake

WANG Shaoyu<sup>1,2</sup>, JIN Shumiao<sup>1</sup>

- (1. School of Management, Harbin Institute of Technology, 150001 Harbin, China;
- 2. School of Architecture, Harbin Institute of Technology, 150001 Harbin, China)

**Abstract**: To evaluate seismic risk and identify critical pipelines of water supply system, water supply index (S), pipeline update profit (U) and pipeline break consequence (B) are set up to describe system seismic performance, and the graphical iterative response analysis of flow following earthquakes (GIRAFFE) based on Monte Carlo simulation is applied to the hypothetical water supply system for peak ground velocity  $v_c = 50$  cm/s. The simulation result shows that the distribution of S is related to nodes' demand pattern in the system. Calculated by running single Monte Carlo simulation, U could be used as primary indicator to identify individual critical pipelines and maximum benefit portfolio, and it is the consequence of B and pipelines' damage probability. Updating the group with largest individual critical pipelines is not the best strategy for the system, and the system seismic performance would be most improved by updating maximum benefit portfolio. **Key words**: water supply system; seismic risk evaluation; pipeline update; pipeline break; Monte Carlo simulation; critical water supply pipeline; maximum benefit portfolio

供水系统是生命线工程的重要组成部分,一旦遭遇震害,不但会弱化震后消防抢救能力,而且会扰乱当地居民和工商业的正常生产生活. 1906年美国 San Francisco 地震,由于3条主要输水管道遭受破坏,以致由地震引发的火灾无法及时扑灭,大火持续燃烧三天三夜<sup>[1]</sup>. 1994年美国北岭

收稿日期: 2012-07-04.

基金项目: 国家自然科学基金资助项目(70671033);

国家科技支撑计划项目(2009BAK56B03).

作者简介: 王绍玉(1956—),男,教授,博士生导师.

通信作者: 金书淼, hljjsm@ gmail. com.

地震,圣费尔南多峡谷北部 3 条主要输水管道破坏,导致数周停水<sup>[2]</sup>.为了减轻地震灾害对供水系统造成的破坏,将供水中断引发的效应最小化,供水系统地震风险评估以及关键供水管道的确认研究成为重中之重.

大量文献都分析了供水系统的地震绩效水平 及其可靠性, Markov、O'Rourke 和 Scawthorn 等基 于 1906 年 San Francisco 大地震和 1989 年 Loma Prieta 大地震对旧金山供水系统和震后该系统对 消防能力的影响进行了研究<sup>[3-5]</sup>; Chang 等对美 国孟菲斯供水系统进行了地震风险分析<sup>[6]</sup>; Wang 和 Shi 等对美国加州洛杉矶供水系统评价了地震 绩效水平[7-8];韩阳对城市地下管网系统的地震 可靠性进行了研究[9];何双华对供水管网系统抗 震加固优化进行了分析[10]. 但是,很少有文献分 析供水系统的地震关键供水管道. 关键供水管道 对地震作用下的系统供水能力和可靠性有重大影 响. 本文通过建立供水系统地震绩效评价指标来 评估其地震风险并确认系统中的关键供水管道. 首先建立了基于系统震后供水率S、管道升级收 益指数 U 和管道断裂影响指数 B 的评价指标;其 次引入了供水系统模型并介绍了分析过程;然后 运用基于蒙特卡洛仿真的 GIRAFFE 方法对供水 系统在地面峰值速度  $v_c = 50$  cm/s 时进行风险评 估,确认了系统的单个关键供水管道和最大收益 管道组合;最后分析了管道升级收益指数和管道 断裂影响指数之间的数量关系,为决策者进行管 道升级提供了依据.

## 1 供水系统地震绩效评价指标

#### 1.1 系统震后供水率

供水系统地震风险可用系统震后供水率S表示,它以各个节点的震后用水满意度作为度量标准,S为系统震后供水总量与震前供水总量的比值,即

$$S = \sum_{i=1}^{n_j} Q_j / \sum_{i=1}^{n_{j0}} Q_j.$$
 (1)

式中: $Q_j$ 为节点j的用水流量需求; $n_p$ , $n_j$ 分别为震前和震后用水得到满足的节点数量.S 描述了系统震后供水满意的程度,其取值在 $0 \sim 1$ 之间,0和1分别代表了震后无供水和震后满供水两种极值情况.

由于震后伴随着抢修工作,如关闭阀门以隔离系统的受损部件,这会引发S剧烈变化,本文S为震后瞬间的系统供水率,通过分析期望值和概率分布来评估供水系统的地震风险.

#### 1.2 管道断裂影响指数

管道断裂影响指数  $B_j$  描述了管道 j 的地震断裂对系统震后供水所产生的影响,即

$$B_{j} = \frac{E(S) - E(S \mid L_{j})}{1 - E(S)}.$$
 (2)

式中:E(S) 为S 的期望值, $E(S | L_j)$  为管道j 在断裂条件下S 的期望,理论上 $E(S | L_j)$  < E(S) ,因为E(S) 不仅包括了管道j 的断裂,而且包括了管道j 的无损.  $B_j$  实质上是测量管道j 的断裂对系统震后供水率S 带来的消极影响,值越大说明管道j 的断裂对系统产生的影响越大.

#### 1.3 管道升级收益指数

管道升级收益指数  $U_j$  描述了管道 j 的升级对系统震后供水所产生的影响,表示为

$$U_{j} = \frac{E_{up_{j}}(S) - E(S)}{1 - E(S)}.$$
 (3)

式中: $E_{up_i}(S)$  为管道j在升级条件下S的期望.

管道升级是指若相同地震再次发生,则升级之后的管道断裂概率  $P_{up}(L_j)$  比升级之前的断裂概率  $P(L_j)$  急剧减小.  $U_j$  实质上是测量管道j 的升级给系统震后供水率 S 带来的积极影响.  $B_j$  和  $U_j$  分别反映了管道j 的断裂和升级给系统带来的整体影响,有助于确定系统的关键供水管道,但是 $U_j$  能更好地体现供水系统升级优化的效果,所以 $U_j$  将作为首要指标来确认系统的关键供水管道, $U_j$  值越大说明其管道越关键,值越小说明管道升级效果越不明显. 作为互补指数  $U_j$  与  $B_j$  密切相关,可通过分析两者数量关系来讨论系统特征.

## 2 研究对象

本文以美国环保署 EPA 提供的供水管网模 型[11]作为研究对象,如图1所示。该供水系统占 地约10 km²,包括59个用水节点、117根管道、3个 蓄水槽、2个水源和2个水泵. 117 根管道总长约 66 km,59 个用水节点需水总量为 40 634 L/min。 位于系统正北方向的河流和西北方向的湖泊作为 水源供水给用水节点,水体总流向为自北向南及从 西至东,由河流供给总需求的80%,由湖泊供给总 需求的20%. 表1总结了用水节点的基本信息,包 括节点名称、高程和流量需求. 大部分节点的流量 需求小于或等于 1 000 L/min, 但是节点 203、35、 123 的用水需求分别为 17 076、6 503、4 519 L/min, 共占系统总需求的69%。系统中117根管道的直 径为 200~760 mm. 直径大于或等于 610 mm 的管 道为输水干道,这些管道由钢管组成,剩余管道则 为输水支路,由铸铁管组成.

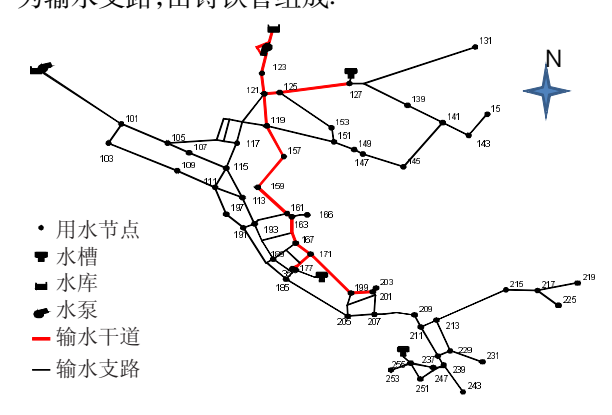


图 1 供水系统空间分布图

表 1 系统用水节点基本信息

竹白    竹白	世需求/min <sup>-1</sup> ) 55 149 220 97 409 310
15 9.75 1 000 167 -1.52 35 3.81 6 503 171 -1.22 101 12.80 719 177 2.44 103 13.11 504 185 4.88	55 149 220 97 409
35     3. 81     6 503     171     -1. 22       101     12. 80     719     177     2. 44       103     13. 11     504     185     4. 88	149 220 97 409
101     12. 80     719     177     2. 44       103     13. 11     504     185     4. 88	<ul><li>220</li><li>97</li><li>409</li></ul>
103 13.11 504 185 4.88	97 409
	409
105 8.69 512 189 1.22	
	310
107 6.71 207 191 7.62	
109 6. 19 876 193 5. 49	270
111 3.05 537 197 7.01	65
113 0.61 76 199 -0.61	452
115 4. 27 197 201 0. 03	169
117 4. 15 446 203 0. 61 17	076
119 0. 61 667 205 6. 40	247
121 -0.61 158 207 2.74	263
123 3. 35 4 519 209 - 0. 61	3
125 3. 35 173 211 2. 13	33
127 17. 07 67 213 2. 13	53
131 1.83 162 215 2.13	349
139 9.45 22 217 1.83	92
143 -1.37 24 219 1.22	156
141 1. 22 37 225 2. 44	86
145 0.30 105 229 3.20	243
147 5. 64 32 231 1. 52	62
149 4. 88 103 237 4. 27	59
151 10.21 547 239 3.96	169
153 20. 18 167 243 4. 27	16
157 3.99 196 247 5.49	266
159 1.83 156 251 9.14	91
161 1. 22 60 253 10. 97	206
163 1.52 36 255 8.23	153
166 -0.61 10	

## 3 基于蒙特卡洛仿真的 GIRAFFE

基于蒙特卡洛仿真的地震作用下流体的图解 迭代响应分析(Graphical iterative response analysis of flow following earthquakes, GIRAFFE) 方法被用 于评价供水系统的地震风险和确认关键供水管 道. GIRAFFE 方法能准确地解决供水系统在地震作用下产生的节点负压问题,从而能更加有效地评价地震供水效用. 该处理方法曾经用于分析 1989 年 Loma Prieta 大地震下的旧金山供水系统<sup>[3]</sup>和 1994 年北岭地震下的洛杉矶供水系统<sup>[10]</sup>.

假设地震场景统一服从地面峰值速度  $v_{\rm G}$  =

50 cm/s. 管道维修率  $\lambda$  (维修次数/km)可通过管道地震维修次数与地面峰值速度的回归关系统计获得, Jeon 和 O'Rourke 基于北岭地震对不同材质的管道维修率与地面峰值速度的关系进行了分析<sup>[12]</sup>,研究表明,在  $v_{\rm G}=50$  cm/s 时,直径  $\geq$  610 mm 的 钢 管 的 管 道 维 修 率  $\lambda=0.017$  8 次/km,直径小于 610 mm 的铸铁管的管道维修率  $\lambda=0.125$  4 次/km.

## 4 风险评估结果

通过运行  $10\ 000\$ 次样本的蒙特卡洛仿真,结果显示 S 的取值在  $0.\ 05\ \sim 1$  之间,均值为  $0.\ 93$ ,标准差为  $0.\ 14$ . 图  $2\ 3$  分别描述了 S 的概率质量函数  $f_S$  和累计分布函数  $F_S(F_S=\sum_{s_i\leqslant s}f_S)$ . 如图 2 所示,大部分样本的 S 为  $0.\ 89\ \sim 1$ ,当  $S\leqslant 0.\ 89$  时,样本数量急剧减小。图 3 描述了由 3 段近乎于直线组成的半对数形式的累计分布曲线,它有两个特征点  $S=0.\ 40$  和  $S=0.\ 89$ . 首先曲线以较大斜率升至点  $F_S=0.\ 03(S=0.\ 40)$ ,接着以较小的斜率升至点  $F_S=0.\ 1(S=0.\ 89)$ ,最后以更大的斜率到达点  $F_S=1(S=1.\ 00)$ . 斜率在点  $S=0.\ 40$  为

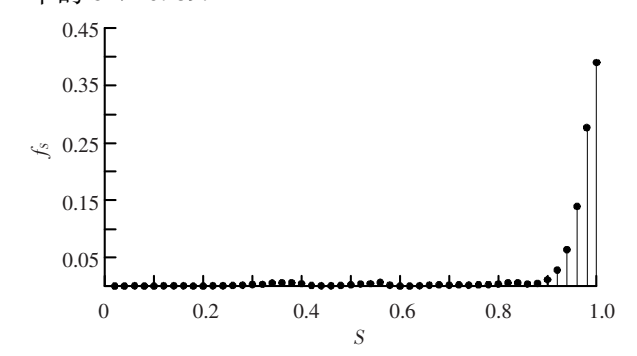


图 2 系统震后供水率 S 的概率质量分布

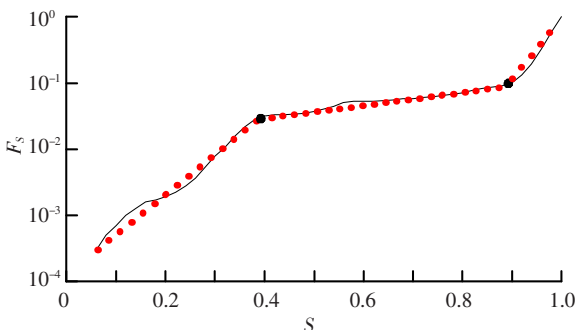


图 3 系统震后供水率 S 的累计分布

表 2 描述了节点 35 和 203 的用水不满意率. 当 S < 0.40 时,节点 35 和 203 的不满意率都为 1;当 S < 0.89 时,节点 35 和 203 的不满意率分别

为 0.52 和 0.57. 需要说明的是节点 35 和 203 的用水需求分别为 6503、17076 L/min,这两个节点的总需求为 23579 L/min,约占系统总需求的 58%. 若这两个节点的震后用水不能得到满足,那么系统震后供水率 S 至少会减少 58%,导致 S < 0.40,所以 S 的分布特征与系统中的节点用水需求分布密切相关.

表 2 节点 35 和 203 的用水不满意率

节点	用水不满意率		
思り	S < 0.40	S < 0.89	
35	1. 00	0. 52	
203	1. 00	0. 57	

## 5 关键供水管道的确认

评估供水系统地震风险的重要步骤之一就是要确定系统中的关键供水管道. 若 U 越大,则管道越关键;若 U 越小,则管道越不关键. 基于条件样本可确定供水系统的单个关键供水管道和最大收益管道组合.

### 5.1 基于条件样本的关键供水管道

通常情况下,计算管道j的升级收益指数 $U_j$ 需要在该管道经过升级之后再对系统进行仿真运算.但是在现实生活中,复杂的供水系统往往由成千上万条管道组成,而计算每个管道的U就得对其依次分别计算,计算繁重且效率低下.以本系统为例,供水系统由117根管道组成,就要分别对117根管道依次进行仿真运算,进而排名得出关

键供水管道. 但是,如果假设升级之后的管道断裂率  $P_{up}(L_j)=0$ ,则可基于已知条件样本且只运算 1 次蒙特卡洛仿真便可确认关键供水管道,从而避免了重复运算. 在第 4 节进行系统风险评估运算时,若管道 j 在大量样本中发现完好无损,便可假想该管道是在升级条件下对系统进行的风险评估. 例如,在  $10\,000$  次样本的地震仿真中发现管道 171 在 9825 次仿真样本中完好无损,那么就可以认为在这  $9\,825$  次地震中管道 171 是经过升级的,进而  $U_{171}$  可通过下列公式求出.

$$U_{j} = \frac{\frac{1}{m_{2}} \sum_{i=1}^{m_{2}} S_{i} - \frac{1}{m_{1}} \sum_{j=1}^{m_{1}} S_{j}}{1 - \frac{1}{m_{1}} \sum_{j=1}^{m_{1}} S_{j}}.$$
 (4)

式中: $m_1$ 为样本总数, $m_2$ 为管道j在无损状态下的样本数.

为了验证式(4)的正确性,表3基于单次仿真计算了本系统的10根单个关键供水管道,并与这10根管道分别在升级条件下进行多次仿真进行了对比.通过表3可看出对比结果较理想,理论上第3列应和第2列完全相同,出现差异的原因在于统计误差.此外,还对这10根管道在 $P_{up}(L_j)/P(L_j)=0.1$ 时,即升级之后管道断裂率是升级之前管道断裂率的10%进行了多次仿真,并与单次仿真进行对比,结果表明基于单次仿真的管道 $U_j$ 值可以代替多次仿真的 $U_j$ .

表 3 基于单次和多次仿真的 10 大单个关键供水管道对比

管道 编号	单次仿真的 $U_i$ $-$	多次仿真的 $U_j$	仿真的 $U_j$	单次和多次仿真差值				
	编号	平仅仍县的 $U_j$ —	$P_{\rm up}(L_j) = 0$	$P_{\rm up}(L_j)/P(L_j) = 0.1$	$P_{\rm up}(L_j) = 0$	$P_{\rm up}(L_j)/P(L_j) = 0.1$		
101	0. 16	0. 17	0. 15	0. 01	0. 01			
329	0. 13	0. 14	0. 11	0.01	0.02			
229	0. 11	0. 11	0. 09	0	0.02			
177	0.08	0. 07	0. 07	0.01	0. 01			
175	0. 05	0.06	0.06	0. 01	0. 01			
187	0.05	0. 04	0. 03	0.01	0.02			
321	0. 05	0. 03	0. 03	0. 02	0. 02			
153	0.04	0. 05	0. 03	0.01	0. 01			
133	0. 03	0. 03	0. 03	0	0			
171	0. 03	0. 01	0. 03	0. 02	0			

#### 5.2 最大收益管道组合

利用有限的资源优先升级关键的管道组合是 供水系统风险管理的重要研究内容. 在对供水系 统的管道组合进行升级决策时,通常应考虑成本 收益. 若可供调配的升级资源越丰富,则管道组合 升级收益指数 U 和系统震后供水率 S 就会越大. 本文通过描绘管道组合升级收益指数 U 和相应的管道升级数量讨论成本收益. 管道组合的关键程度也可基于条件样本计算求出,式(4) 同样适用于确认系统的关键管道组合,管道组合升级收益

指数 U 越大则该组合越关键,最大 U 值的管道组合称为最大收益管道组合.

图 4 为最大收益管道组合曲线,显示了由系 统中10根管道组成的最大收益管道组合及其相 应的 U 值. 按照其升级顺序, 若升级第1 根管道 101 时,则 U<sub>101</sub> = 0.16; 当按序升级至第10 根管道 183 时,则  $U_{101-183} = 0.69$ . 图 5 展示了最大收益管 道组合的空间分布,位列第1名的管道101紧邻湖 泊水源,此外,这10根管道中有7根管道为输水干 道,且直通系统中最大的两个用水节点203和35. 需要注意的是,最大收益管道组合中的10根管道 与表 3 中 10 根单个关键供水管道并不一致,即由 单个关键供水管道组成的升级组合并不是最佳的 优化策略. 图 4 中 10 根 U 值管道组合曲线描述了 升级 10 根单个关键供水管道与相应 U 之间的关 系,由图可知,升级 10 根单个关键供水管道的 U值小于升级最大收益管道组合的 U 值,即升级 10 根单个关键供水管道所提高的系统震后供水率S 没有升级最大收益管道组合效果明显.

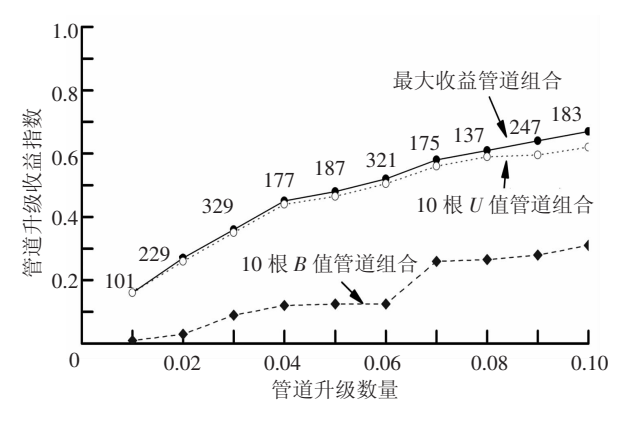


图 4 管道升级收益指数与升级数量的关系

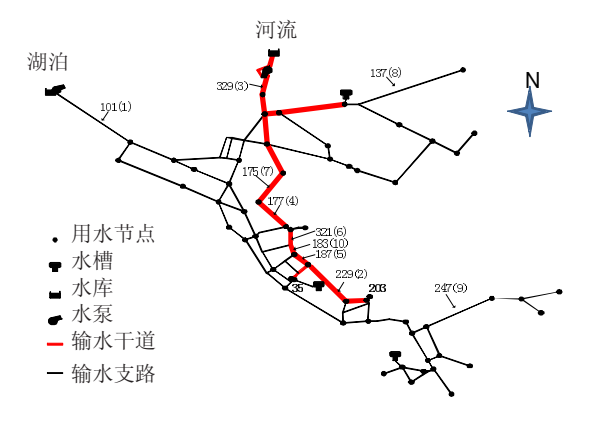


图 5 最大收益管道组合空间分布图

6 管道升级收益指数与管道断裂影响指数的数量关系

管道升级收益指数 U 是衡量管道升级后对

系统震后供水率 S 所带来的积极影响; 而管道断裂影响指数 B 是衡量管道地震断裂给 S 带来的消极影响. 通过进一步分析, 可获取两个指数的数量关系, 根据全概率公式为

 $E(S) = E(S \mid L_j)P(L_j) + E(S \mid \overline{L_j})P(\overline{L_j})$ . (5) 式中: $P(L_j)$  和  $P(\overline{L_j})$  分别为管道 j 的地震断裂率 和地震无损率.

$$1 = \frac{E(S \mid L_j)P(L_j)}{E(S)} + \frac{E(S \mid \overline{L_j})P(\overline{L_j})}{E(S)}.$$
 (6)

式(6) 左边由  $P(L_i) + P(\overline{L_i})$  替代可得

$$\frac{E(S \mid \overline{L_j}) - E(S)}{E(S)} = \frac{E(S) - E(S \mid L_j)}{E(S)} \frac{P(L_j)}{P(\overline{L_j})}.$$
(7)

根据式(2)、(3),继而可得

$$U_j = B_j \frac{P(L_j)}{P(\overline{L_i})}.$$
 (8)

由式(8) 可知, $U_j$ 是 $B_j$ 和 $\frac{P(L_j)}{P(\overline{L_i})}$ 共同作用的结

果.  $B_j$  描述了管道j 的断裂给系统带来的后果,它反映了系统特征,如连通性、冗余性和除管道j 之外其他管道的断裂情况等;  $\frac{P(L_j)}{P(L_j)}$  则描述了管道j 自身的断裂程度. 式(8) 意味着当决策者分析管道升级时,应同时考虑管道断裂影响指数和管道自身的断裂程度. 式(8) 的推演结果符合真实供水系统的管道升级优化策略. 在实际情况中,总是优先升级那些大流量和容易断裂的管道,大流量意味着高 B

值,而容易断裂则意味着高 $\frac{P(L_j)}{P(\overline{L_i})}$ 值.

管道断裂影响指数  $B_j$  可同样基于条件样本求出,即

$$B_{j} = \frac{\frac{1}{m_{1}} \sum_{j=1}^{m_{1}} S_{j} - \frac{1}{m_{3}} \sum_{i=1}^{m_{3}} S_{i}}{1 - \frac{1}{m_{1}} \sum_{j=1}^{m_{1}} S_{j}}.$$
 (9)

式中: $m_1$  为样本总数, $m_3$  为管道j 发生断裂的样本数. 为了证明式(8) 的正确性,通过统计系统中117 根管道的  $U_j \setminus B_j$  和相应的管道断裂率  $P(L_j)$ ,验证了三者之间的关系,如图 6 所示.

研究表明,管道升级收益指数  $U_j$  比管道断裂影响指数  $B_j$  更适合作为首要指标来升级管道,其主要原因是升级由  $B_j$  组成的管道组合并不能显著提高系统震后供水率 S,如图 4 中 10 根 B 值管道组合升级曲线所示,升级这 10 根管道的 U < 0.40,小于最大收益管道组合的 U = 0.69,验证了以管道断裂影响指数 B 决定的管道升级组合并不

## 是最佳的优化方案.

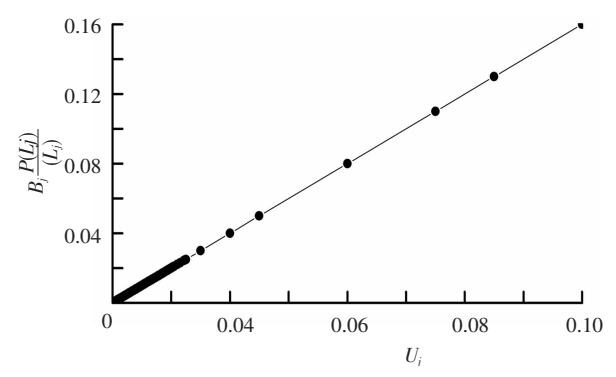


图 6 管道升级收益指数与管道断裂影响指数的关系

## 7 结 论

- 1)运用基于蒙特卡洛仿真的 GIRAFFE 方法评估了供水系统地震风险和确定了关键供水管道. 系统震后供水率S可用来描述震后风险水平;管道升级收益指数  $U_j$  和管道断裂影响指数  $B_j$  可测量管道 j 对系统的影响, $U_j$  更有助于确定系统中的关键供水管道.
- 2)升级最大收益管道组合是最佳的升级优化策略,其升级顺序与单个关键供水管道的排序并不一致.
- 3) 管道升级收益指数  $U_j$  是管道断裂影响指数  $B_j$  和管道断裂程度  $\frac{P(L_j)}{P(L_j)}$  共同作用的结果, $B_j$  能反映供水系统的特征,如连通性、冗余性和除管道 j 外其他管道的断裂情况;而 $\frac{P(L_j)}{P(L_j)}$  则描述了管道 j 的自身断裂程度.

## 参考文献

[1] ARIMAN T, MULESKI G E. A review of the response of buried pipelines under seismic excitations [J]. Earthquake Engineering and Structural Dynamics, 1981, 9(2):133-152.

- [2] Earthquake Engineering Research Institute. Northridge earthquake of January 17, 1994; preliminary reconnaissance report [R]. Oakland; EERI, 1994.
- [3] MARKOV I, GRIGORIU M, O'ROURKE T D. An evaluation of seismic serviceability water supply networks with application to the San Francisco auxiliary water supply system, technical report NCEER-94-0001 [R]. New York: Multidisciplinary Center for Earthquake Engineering Research, 1994.
- [4] O'ROURKE T D, BONNEARU A L, PEASE J W, et al. Liquefaction and ground failures in San Francisco [J]. Earthquake Spectra, 2006, 22(S2): 91-112.
- [5] SCAWTHORN C, O'ROURKE T D, BALCKBURN F T. The San Francisco earthquake and fire of 1906: enduring lesson for fire protection and water supply [J]. Earthquake Spectra, 2006, 22(S2): 135-158.
- [6] CHANG S E, SVEKLA W D, SHINOZUKA M. Linking infrastructure and urban economy: simulation of water disruption impacts in earthquakes [J]. Environ Plan B Plan, 2002, 29(2): 281 – 301.
- [7] WANG Y. Seismic performance evaluation of water supply systems [D]. New York: Cornell University, 2006.
- [8] SHI P. Seismic response modeling of water supply system [D]. New York: Cornell University, 2006.
- [9] 韩阳. 城市地下管网系统的地震可靠性研究[D]. 大连: 大连理工大学, 2002.
- [10]何双华. 供水管网系统抗震可靠性分析及加固优化研究[D]. 大连: 大连理工大学, 2009.
- [11] ROSSMAN. EPANET 2 users manual [M]. Cincinnati: National Risk Management Research Labortory, Office of Research and Development, US Environmental Protection Agency, 2000.
- [12] JEON S S, O'ROURKE T D. Northridge earthquake effects on pipelines and residential buildings [J]. Bull Seismol Soc Am, 2005, 95(1): 294-318.

(编辑 魏希柱)